

META-HEURÍSTICA GRASP APLICADA AO PROBLEMA DO CORTE BIDIMENSIONAL NÃO-GUILHOTINADO

Thiago Nascimento Rodrigues

Universidade Federal do Espírito Santo
Av. Fernando Ferrari, 541, 29075-910, Vitória, ES, Brasil
nascimenthiago@gmail.com

André Renato Sales Amaral

Universidade Federal do Espírito Santo
Av. Fernando Ferrari, 541, 29075-910, Vitória, ES, Brasil
amaral@inf.ufes.br

RESUMO

Este trabalho trata do problema do corte bidimensional não-guilhotinado que visa a maximização do valor total de peças cortadas a partir de uma placa retangular. É proposto um algoritmo GRASP baseado na junção de diferentes estratégias para as fases construtiva e de busca local. Instâncias disponíveis na literatura são utilizadas para validação do algoritmo. Uma comparação com resultados obtidos por outros métodos da literatura é apresentada afim de atestar a qualidade da estratégia utilizada.

PALAVRAS CHAVE. Meta-heurística, GRASP, Corte bidimensional não-guilhotinado.

Tópicos (MH - Metaheurísticas)

ABSTRACT

This work deals with the two-dimensional non-guillotine cutting problem, which aims at maximizing the total value of pieces cut from a rectangular plate. A GRASP algorithm is proposed based on the union of different strategies for the constructive and local search phases. Instances available in the literature are used to validate the algorithm. A comparison with results obtained by other classic methods of the literature is presented in order to attest to the quality of the used strategy.

KEYWORDS. Metaheuristic, GRASP, Two-dimensional non-guillotine cutting.

Paper topics (MH - Metaheuristics)

1. Introdução

Em diversas aplicações relacionadas a processos industriais surgem problemas de relevante interessante para a Pesquisa Operacional. Uma classe conhecida destes problemas são os Problemas de Corte e Empacotamento (PCE). De maneira geral, em processos industriais que envolvam um PCE, é necessária a produção de determinadas quantidades de placas de um tipo de material, as quais devem, subsequentemente ser cortadas em peças de tamanho menor [Sepúlveda 2013]. Naturalmente, o corte de placas para a obtenção de produtos intermediários ou finais geralmente implica em perdas de matéria-prima. Logo, a diminuição dos gastos causados por estas perdas pode ser um fator decisivo para a garantia da competitividade de determinada indústria [Temponi 2007].

Nesse cenário, o *problema do corte bidimensional não-guilhotinado* consiste em obter um conjunto finito de pequenas peças retangulares a partir de cortes efetuados sobre um dado retângulo de estoque de dimensões fixas, visando maximizar o aproveitamento do retângulo a ser cortado. Este problema aparece em muitos processos de produção nas indústrias têxtil, de papel, aço, vidro e madeira. Mais formalmente, seja $R = (L, W)$ o retângulo de estoque de comprimento L e de largura W . Cada peça i tem dimensões (l_i, w_i) , e valor $v_i, i = 1, \dots, m$. As peças têm orientações fixas e precisam ser cortadas de tal modo que suas faces fiquem paralelas às faces do retângulo de estoque (cortes ortogonais). O problema reside em cortar o retângulo R em x_i cópias de cada peça i , levando-se em conta que $0 \leq P_i \leq x_i \leq Q_i$, e de tal maneira que o valor total obtido a partir de cada peça cortada, ou seja $\sum_i v_i x_i$, seja maximizado. Nesse sentido, $M = \sum_i Q_i$ corresponde ao número máximo de peças que podem ser cortadas [Alvarez-Valdés et al. 2007].

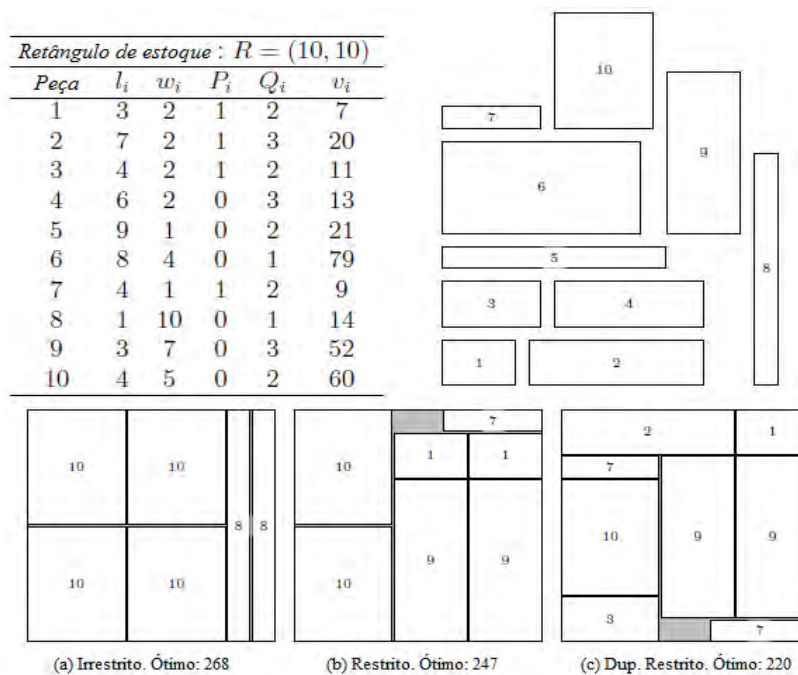


Figura 1: Exemplo de um Problema de Corte Bidimensional Não-guilhotinado adaptado de [Alvarez-Valdés et al. 2007].

Ainda conforme [Alvarez-Valdés et al. 2007], de acordo com os valores de P_i e Q_i é possível distinguir-se três tipos de problemas:

1. *Irrestrito*: $\forall i, P_i = 0, Q_i = \lfloor L * W / l_i * w_i \rfloor$.
2. *Restrito*: $\forall i, P_i = 0; \exists i, Q_i < \lfloor L * W / l_i * w_i \rfloor$.
3. *Duplamente Restrito*: $\exists i, P_i > 0; \exists j, Q_j < \lfloor L * W / l_i * w_i \rfloor$.

A Figura 1 apresenta um exemplo de um Problema de Corte Bidimensional Não-guilhotinado tendo um retângulo de estoque $R = (10, 10)$, e $m = 10$ peças a serem cortadas. As três soluções (a), (b) e (c) representam, cada qual, a configuração ótima para os problemas irrestrito, restrito e duplamente restrito, respectivamente.

Por pertencerem à classe de problemas NP-Difícil, a maioria dos estudos sobre PCE se concentram em desenvolver métodos heurísticos para encontrar uma boa solução a um custo computacional razoável, ainda que sem a garantia de obtenção da solução ótima. Neste trabalho, propomos uma implementação da meta-heurística GRASP (*Greedy Randomized Adaptive Search Procedure*) para o problema do corte bidimensional não-guilhotinado. As fases de construção de uma solução e de busca local do nosso algoritmo GRASP foram implementadas com inspiração no trabalho de [Coelho 2011] o qual apresentou um algoritmo GRASP para a resolução de outro problema (*Open Dimensional Problem*). Os resultados computacionais sobre um conjunto de 21 problemas da literatura, disponibilizados através da biblioteca *OR-Library* [Beasley 1990], e outro conjunto de 30 instâncias apresentadas por [Amaral 1999], mostraram que o algoritmo GRASP proposto é competitivo em relação a outros métodos.

Este artigo está organizado como segue: a seção 2 apresenta uma heurística para a fase de construção de soluções locais do algoritmo GRASP, assim como uma descrição da estratégia adotada para a exploração das vizinhanças das soluções obtidas na fase de construção. Os resultados obtidos pelos experimentos computacionais são analisados na seção 3. Finalizando na seção 4, as conclusões são apresentadas.

2. Um algoritmo GRASP

GRASP (*Greedy Randomized Adaptive Search*) é uma metaheurística iterativa e randômica na qual cada iteração provê uma solução para o problema em questão. Existem duas fases dentro de cada iteração GRASP: uma primeira fase construtiva, na qual uma solução inicial é construída de forma inteligente via alguma função randômica, adaptativa e gulosa; e uma segunda fase de melhoramento, onde um procedimento de busca local é aplicado sobre a solução construída com o intento de se agregar alguma melhora à solução [Feo e Resende 1995]. Neste trabalho, a fase de construção do algoritmo GRASP ficou a cargo do procedimento `BuildLocalSolution` descrito na seção 2.1.

2.1. Heurística Construtiva

No procedimento GRASP, a cada iteração, a construção de uma solução é realizada elemento a elemento e , posteriormente, uma busca local é realizada na vizinhança da solução construída, o que viabiliza a identificação de um ótimo local. O procedimento `BuildLocalSolution`, baseado no algoritmo apresentado por Alvarez-Valdes [Alvarez-Valdés et al. 2007] e explorado por Coelho [Coelho 2011], efetua a construção de uma solução local a partir de uma lista \mathcal{P} de peças candidatas. A primeira ação acontece na linha 3 do procedimento, onde a lista \mathcal{P} de peças é ordenada de forma decrescente em conformidade com um valor de peso determinado para cada elemento. Neste trabalho, uma função $g(\cdot)$ atribui a cada $p_i \in \mathcal{P}$ um valor dado por $g(p_i) = (l_i * w_i) / v_i$. Esta escolha constitui uma diferença em relação ao trabalho de [Coelho 2011], dado que, naquele trabalho, a função $g(\cdot)$ adotada avalia cada item da lista \mathcal{P} de acordo com sua altura.

A cada iteração da fase de construção, os k melhores itens da lista \mathcal{P} , de acordo com a função $g(\cdot)$, ou seja, as k primeiras peças desta lista, são colocadas em uma Lista Restrita de Candidatos (*LRC*). O componente aleatório consiste em selecionar, para cada inserção na solução, um item aleatório dentre os k itens candidatos da *LRC* (linha 7). Em seguida, caso o elemento selecionado caiba no retângulo de estoque R , o seu encaixe é efetuado de forma a ocupar a menor área possível (menor retângulo $R' \subset R$) de R . Após a atualização das listas \mathcal{P} e *LRC*, o processo se repete até que todos os itens tenham sido encaixados em R [Coelho 2011].

A escolha da menor área retangular do retângulo R a ser cortado (linha 10) é de suma importância para o procedimento a fim de que áreas retangulares maiores sejam reservadas para peças de maiores dimensões. Nesse sentido, a abordagem apresentada por Ferraz [Ferraz e Senne 2009]

```

1: procedure BUILDLOCALSOLUTION( $R, \mathcal{P}, k$ )
2:    $Solução \leftarrow \emptyset$ ;
3:   Ordene o conjunto  $\mathcal{P}$  de peças de acordo com  $g(\cdot)$ ;
4:    $LRC \leftarrow$  conjunto das  $k$  melhores peças de  $\mathcal{P}$ ;
5:   while  $LRC \neq \emptyset$  do
6:      $\mathcal{P} \leftarrow \mathcal{P} - LRC$ ;
7:     Selecione, aleatoriamente, uma peça  $p_i \in LRC$ ;
8:      $\mathcal{L} \leftarrow$  o conjunto de retângulos vazios obtidos a partir do retângulo  $R$  a ser cortado;
9:     if  $p_i$  cabe em algum retângulo  $\mathcal{R}' \in \mathcal{L}$  then
10:      Selecione o menor retângulo  $R^* \in \mathcal{L}$  que comporte  $p_i$ ;
11:      Aloque  $p_i$  na área correspondente a  $R^*$  em  $R$ ;
12:       $Solução \leftarrow Solução \cup \{p_i\}$ ;
13:      if  $\mathcal{P} \neq \emptyset$  then
14:         $LRC \leftarrow LRC \cup \{\text{melhor peça } p_j \in \mathcal{P}\}$ ;
15:      end if
16:    end if
17:     $LRC \leftarrow LRC - \{p_i\}$ ;
18:  end while
19:  Retorne  $Solução$ ;
20: end procedure

```

foi utilizada neste trabalho para a seleção da menor área retangular de R em cada passo. Nela, há uma contagem em R até que seja encontrada a menor área retangular que comporte a peça a ser cortada.

A Figura 2 ilustra esta etapa do procedimento. Supondo que a sequência de peças a serem cortadas de R corresponda à apresentada na Figura 2(a), após a alocação da peça 1 são listadas as áreas retangulares vazias de R (linha 8 do procedimento), conforme indicado pelos retângulos em linhas pontilhadas (Figura 2(b)). Assumindo que a verificação identifique aquela de contorno mais claro como a de menor dimensão e que comporta a próxima peça (linha 10), então a peça 2 é alocada nesta área de R e o processo se repete até que todas as peças tenham sido alocadas. A Figura 2(c) explicita o estado de R após a alocação das peças 1 e 2 e a subsequente escolha da menor área retangular vazia para a alocação da peça 3. Na Figura 2(d) é apresentado o estado de R ao final do procedimento.

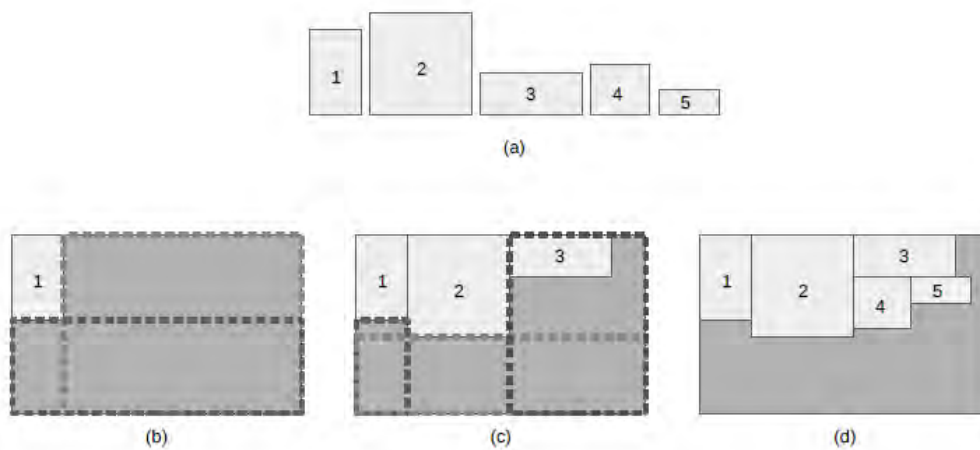


Figura 2: Exemplo de uma solução obtida pela fase de construção do GRASP.

2.2. Busca Local

A Busca Local é baseada em uma exploração iterativa da vizinhança de soluções com o objetivo de viabilizar um melhoramento da solução corrente através de perturbações locais. Os tipos de permutações passíveis de serem aplicados a uma solução são definidos com base na estrutura de sua própria vizinhança [Stützle 1998].

Neste trabalho, para a geração da vizinhança $\mathcal{N}(s)$ de uma dada solução s (linha 2 do procedimento LocalSearch) foi adotado o movimento de troca de dois itens usado por Coelho [Coelho 2011]. De acordo com a estratégia, os vizinhos de s são dados pela escolha aleatória de um item para ser permutado com os demais. Logo, para uma solução $s = (1\ 2\ 4\ 3\ 5)$, na qual o item 2 é o escolhido para atuar como pivô nas trocas, a vizinhança da solução é dada por:

$$\mathcal{N}(s) = \{s_1 = (2\ 1\ 4\ 3\ 5), s_2 = (1\ 4\ 2\ 3\ 5), s_3 = (1\ 3\ 4\ 2\ 5), s_4 = (1\ 5\ 4\ 3\ 2)\}$$

```

1: procedure LOCALSEARCH( $s, f(s), \mathcal{P}, R$ )
2:   Gerar vizinhança  $\mathcal{N}(s)$ ;
3:   for all  $s' \in \mathcal{N}(s)$  do
4:     Alocar  $s'$  no retângulo de estoque  $R$ ;
5:     for all  $p_i \in \mathcal{P} - s$  do
6:       if  $p_i$  cabe em  $R$  then
7:         Alocar  $p_i$  em  $R$ ;
8:          $s' \leftarrow s' \cup \{p_i\}$ ;
9:       end if
10:    end for
11:    if  $f(s') > f(s)$  then
12:       $s \leftarrow s'$ ;
13:    end if
14:  end for
15:  Retorne  $s$ ;
16: end procedure

```

Subsequentemente à avaliação de cada vizinho de uma solução s , um novo passo foi adicionado a fim de se complementar o melhoramento da solução local. Nesta etapa adicional (linhas 5 a 10) - não descrita nos trabalhos referenciados - todas as demais peças de \mathcal{P} que não compõem a solução s , e conseqüentemente não compõem nenhum vizinho s' de s , são avaliadas a fim de se encontrar alguma que possa ser alocada no retângulo de R . Caso seja encontrada alguma peça $p_i \in \mathcal{P} - s$ que satisfaça a condição, esta é alocada seguindo a estratégia da menor área retangular de R usada no procedimento BuildLocalSolution. Cada nova peça alocada passa a integrar a solução final.

2.3. Definição de Parâmetros

Dois parâmetros principais foram extensivamente testados para a aferição do algoritmo GRASP implementado: o tamanho da Lista Restrita de Candidatos - utilizada pela heurística construtiva descrita na seção 2.1, e o número de iterações do GRASP.

Para a definição do tamanho k (linha 4 do procedimento BuildLocalSolution) da Lista Restrita Candidatos (*LRC*) foram avaliados uma gama de valores de k , sendo que os que levaram a melhores resultados foram k igual a 25%, 50% ou 75% do tamanho da lista de peças a serem cortadas (conjunto \mathcal{P}). Em seguida, foram feitos experimentos computacionais adicionais com esses três valores, os quais demonstraram que uma lista *LRC* com tamanho correspondente à metade (50%) do tamanho de \mathcal{P} , viabilizavam as melhores soluções. Logo, este valor foi fixado como tamanho máximo da lista *LRC*. Esta definição caracteriza uma diferença em relação ao trabalho de [Coelho 2011], o qual obteve os melhores resultados utilizando o parâmetro k com valor igual a 2.

Os testes computacionais com diferentes valores para o número de iterações GRASP mostraram que a meta-heurística implementada produzia resultados menos oscilantes e de melhor qualidade quando o laço principal executava 1000 iterações. Este valor foi definido para a execução dos experimentos finais. Novamente, esta definição também significou outra diferença sobre o trabalho de [Coelho 2011], o qual fez uso de um número máximo de iterações do GRASP igual a 30.

3. Experimentos Computacionais

O algoritmo GRASP proposto foi implementado na linguagem C, compilado com o *GNU Compiler Collection* (GCC) - versão 4.8.2 - e executado em uma CPU de 2.871 MHz. O primeiro conjunto de testes é composto de 21 casos extraídos da própria literatura: 12 instâncias de Beasley [Beasley 1985], 2 instâncias de Hadjiconstantinou e Christofides [Hadjiconstantinou e Christofides 1995], 1 instância de Wang [Wang 1983], 1 instância de Christofides e Whitlock [Christofides e Whitlock 1977] e 5 instâncias de Fekete e Schepers [Fekete e Schepers 1997].

Tabela 1: Resultados Computacionais - Problemas da literatura.

#	Problemas			Soluções			GRASP ¹			
	(L, W)	m	M	Ótimo	Beasley	GRASP ²	Melhor	Média	D. P.	% Dif.
1	(10, 10)	5	10	164	164	164	164	164	0	0
2	(10, 10)	7	17	230	230	230	230	230	0	0
3	(10, 10)	10	21	247	247	247	247	247	0	0
4	(15, 10)	5	7	268	268	268	268	268	0	0
5	(15, 10)	7	14	358	358	358	358	358	0	0
6	(15, 10)	10	15	289	289	289	289	289	0	0
7	(20, 20)	5	8	430	430	430	430	430	0	0
8	(20, 20)	7	13	834	834	834	834	834	0	0
9	(20, 20)	10	18	924	924	924	924	924	0	0
10	(30, 30)	5	13	1452	1452	1452	1452	1452	0	0
11	(30, 30)	7	15	1688	1688	1688	1688	1688	0	0
12	(30, 30)	10	22	1865	1801	1865	1865	1865	0	0
13	(30, 30)	7	7	1178	1178	1178	1178	1178	0	0
14	(30, 30)	15	15	1270	1270	1270	1270	1270	0	0
15	(70, 40)	19	42	2726	2721	2726	2716	2713	6,26	0,37
16	(40, 70)	20	62	1860	1720	1860	1860	1840	20	0
17	(100, 100)	15	50	27718	27486	27589	27661	27597	72,22	0.21
18	(100, 100)	30	30	22502	21976	21976	22502	22223	167,57	0
19	(100, 100)	30	30	24019	23743	23743	24019	23917	140,46	0
20	(100, 100)	33	61	32893	31269	32893	32893	32636	255,67	0
21	(100, 100)	29	97	27923	26332	27923	26249	25906	266,97	6.0

¹Proposto neste trabalho. ²Proposto por [Alvarez-Valdés et al. 2005].

A Tabela 1 apresenta um comparativo dos resultados obtidos. Nas colunas referentes a Problemas, são apresentados as dimensões do retângulo em estoque (*L*: comprimento, *W*: largura), número de tipos de peças (*m*) e o número máximo (*M*) de peças que podem ser cortadas. As colunas Melhor, Média, D. P. e % Dif., de GRASP (implementado neste trabalho), tabulam as informações da melhor solução encontrada, da média aritmética dos resultados obtidos, do desvio-padrão das soluções geradas em 5 execuções, assim como do percentual de diferença encontrada entre a melhor solução GRASP e a solução ótima, respectivamente. As melhores soluções obtidas pelo algoritmo GRASP implementado são contrapostas com os resultados encontrados por Beasley [Beasley 2004] e por outra implementação GRASP proposta na literatura [Alvarez-Valdés et al. 2005].

Dentre os 21 problemas testados, foi possível alcançar a solução ótima conhecida para 18 deles. Apenas três casos não se obteve sucesso, ou seja, problemas #15, #17 e #21. Em comparação com as soluções obtidas por Beasley [Beasley 2004], a implementação GRASP proposta neste trabalho alcançou resultados de melhor qualidade, tendo em vista que a primeira falhou na obtenção da solução ótima para 8 instâncias. Ressaltando ainda a qualidade do algoritmo construído, em um dos casos onde ambas implementações não obtêm sucesso, o GRASP proposto consegue uma melhor aproximação do ótimo quando comparado com o resultado obtido por Beasley - problema #15.

Na Tabela 2 são apresentados os tempos de execução do algoritmo GRASP proposto (média e desvio padrão em 5 execuções), considerando-se o conjunto de instâncias mostrado na Tabela 1. Como ambientes computacionais distintos foram utilizados neste trabalho e nos demais de referência, os tempos demandados para o cômputo das soluções não podem ser diretamente comparados. Contudo, os dados apresentados na Tabela 2 podem agregar confiabilidade para fins de validação da abordagem proposta.

Tabela 2: Tempos de Execução - Problemas da literatura.

#	Problemas			GRASP - Tempo (s)	
	(L, W)	m	M	Média	Desvio Padrão
1	(10, 10)	5	10	0.45	0.053
2	(10, 10)	7	17	0.96	0.08
3	(10, 10)	10	21	1.12	0.01
4	(15, 10)	5	7	0.79	0.01
5	(15, 10)	7	14	1.44	0.15
6	(15, 10)	10	15	1.74	0.02
7	(20, 20)	5	8	6.30	0.10
8	(20, 20)	7	13	9.29	0.21
9	(20, 20)	10	18	10.14	0.57
10	(30, 30)	5	13	29.49	0.27
11	(30, 30)	7	15	42.37	1.90
12	(30, 30)	10	22	52.19	0.94
13	(30, 30)	7	7	14.46	0.11
14	(30, 30)	15	15	25.29	0.48
15	(70, 40)	19	42	340.48	3.46
16	(40, 70)	20	62	333.01	2.93
17	(100, 100)	15	50	7549.14	97.09
18	(100, 100)	30	30	4221.56	42.57
19	(100, 100)	30	30	3724.84	55.65
20	(100, 100)	33	61	6354.19	38.02
21	(100, 100)	29	97	9569.83	136.52

Em um comparativo do algoritmo GRASP proposto com uma outra implementação do GRASP encontrada na literatura [Alvarez-Valdés et al. 2005], ambos apresentam desempenho similar na obtenção de soluções ótimas. Embora não alcancem o melhor resultado para a mesma quantidade de problemas, apenas para a instância #17 ambos falham simultaneamente. Contudo, para esse problema, o GRASP implementado neste trabalho consegue uma melhor aproximação da solução ótima. Além disso, apesar da estratégia de busca local utilizada tenha sido a apresentada por [Coelho 2011], nenhum comparativo foi feito contrapondo os resultados obtidos pelas duas implementações. Isso porque [Coelho 2011] considera a alocação de todas as peças retangulares de um dado conjunto em uma área retangular de largura fixa e altura variável. Como o problema difere

Tabela 3: Resultados Computacionais - Instâncias de [Amaral 1999].

#	Problemas				GRASP					
	(L, W)	m	M	Ótimo	Melhor	Média	D. P.	% Dif.	Tempo M. ¹	Tempo D. P. ²
1	(30, 40)	10	18	2763	2763	2763	0	0	85.16	1.45
2	(30, 40)	10	21	2766	2766	2766	0	0	58.91	0.65
3	(30, 40)	10	17	2774	2774	2774	0	0	65.04	0.33
4	(30, 40)	10	24	2591	2591	2591	0	0	56.63	0.32
5	(30, 40)	10	18	3116	3116	3116	0	0	58.57	0.90
6	(40, 40)	15	32	4014	4014	4014	0	0	128.98	1.49
7	(40, 40)	15	31	3966	3966	3938	33,84	0	242.48	1.70
8	(40, 40)	15	32	4092	4092	4092	0	0	148.71	2.03
9	(40, 40)	15	32	4178	4178	4173	6,57	0	188.88	1.79
10	(40, 40)	15	32	4308	4308	4308	0	0	220.09	2.34
11	(50, 30)	15	28	3538	3538	3538	0	0	138.64	1.13
12	(50, 30)	15	24	3449	3449	3432	9,86	0	125.37	0.48
13	(50, 30)	15	34	3405	3405	3405	0	0	147.89	1.60
14	(50, 30)	15	25	2908	2908	2908	0	0	80.71	0.44
15	(50, 30)	15	31	2854	2854	2777	165,10	0	164.14	1.71
16	(50, 30)	20	41	3935	3935	3935	0	0	150.45	1.11
17	(50, 30)	20	43	3608	3608	3572	32,03	0	154.93	1.09
18	(50, 30)	20	38	3695	3695	3643	33,09	0	123.45	1.41
19	(50, 30)	20	38	3681	3681	3621	45,35	0	282.51	2.64
20	(50, 30)	20	38	3539	3539	3490	42,51	0	166.97	2.27
21	(50, 40)	15	32	4714	4714	4681	42,41	0	283.62	2.40
22	(50, 40)	15	31	4735	4660	4637	25,04	1,6	309.51	3.19
23	(50, 40)	15	35	4948	4765	4770	42,73	3,7	273.47	1.59
24	(50, 40)	15	31	4585	4585	4585	0	0	290.69	2.84
25	(50, 40)	15	31	4798	4798	4798	0	0	158.21	1.06
26	(50, 40)	20	42	4527	4527	4527	0	0	221.24	0.99
27	(50, 40)	20	43	5294	5294	5294	0	0	272.83	1.26
28	(50, 40)	20	40	5203	5165	5140	34,04	0,7	375.58	4.14
29	(50, 40)	20	40	5167	5090	5061	22,87	1,5	260.18	1.63
30	(50, 40)	20	44	4993	4993	4844	87,12	0	346.48	3.48

¹Tempo: Média (segundos). ²Tempo: Desvio Padrão (segundos).

do estudado neste trabalho, um comparativo dos resultados obtidos pelas implementações não se mostrou pertinente.

O segundo conjunto de testes utilizado é composto de 30 instâncias geradas para o problema do corte bidimensional não-guilhotinado [Amaral 1999]. A Tabela 3 apresenta os resultados obtidos para cada instância. As colunas estão dispostas de forma análoga à Tabela 1. Uma coluna adicional foi incluída a fim de apresentar os tempos computacionais (média e desvio padrão em 5 execuções) obtidos para cada instância. A eficiência do algoritmo implementado é novamente atestada pelos resultados obtidos. Para os 30 casos testados, a solução ótima conhecida é alcançada para 26 deles e com boa aproximação para os outros 4 casos.

4. Conclusão

A implementação GRASP apresentada para o problema do corte bidimensional não-guilhotinado é resultado da junção de diferentes estratégias encontradas na literatura, associada

a uma etapa complementar que agrega robustez à busca por soluções eficientes. Naturalmente, o trabalho de se tentar efetuar o corte de todas as demais peças e de incluir tantas quantas seja possível em uma solução local, exige um esforço computacional que demanda uma análise mais apurada. A qualidade das soluções obtidas atesta a eficácia da estratégia. Contudo, em processamentos que envolvam instâncias de maior porte, o cômputo relacionado a esta etapa pode comprometer significativamente o desempenho do algoritmo.

Assim, direcionamentos podem ser dados no sentido de aprimorar a etapa de avaliação das demais peças que ainda não fazem parte de uma solução local. Ademais, novas estratégias de geração da vizinhança podem ser testadas a fim de se obter um processamento mais eficiente quando comparado à abordagem baseada na obtenção de todas as combinações possíveis de uma solução obtida na fase de construção.

Referências

- Alvarez-Valdés, R., Parreño, F. e Tamarit, J. M. (2005). A grasp algorithm for constrained two-dimensional non-guillotine cutting problems. *European Journal of Operational Research*, 56(4):414–425.
- Alvarez-Valdés, R., Parreño, F. e Tamarit, J. M. (2007). A tabu search algorithm for a two-dimensional non-guillotine cutting problem. *European Journal of Operational Research*, 183(3):1167–1182.
- Amaral, A. R. S. (1999). A new mixed-integer programming model and solution approach for the two-dimensional nonguillotine cutting problem. Technical report, Universidade Federal do Espírito Santo.
- Beasley, J. E. (1985). An exact two-dimensional non-guillotine cutting tree search procedure. *Operations Research*, 33(1):49–64.
- Beasley, J. E. (1990). OR-Library: distributing test problems by electronic mail. *Journal of the Operational Research Society*, 41(11):1069–1072.
- Beasley, J. E. (2004). A population heuristic for constrained two-dimensional nonguillotine cutting. *European Journal of Operational Research*, 156(3):601–627.
- Christofides, N. e Whitlock, C. (1977). An algorithm for two-dimensional cutting problems. *Operations Research*, 25(1):30–44.
- Coelho, D. G. (2011). Um algoritmo evolutivo multiobjetivo aplicado ao problema de corte bidimensional guilhotinado. Master's thesis, Centro Federal de Educação Tecnológica de Minas Gerais.
- Fekete, S. P. e Schepers, J. (1997). On more-dimensional packing iii: Exact algorithms. Technical Report 97290, Technical University of Berlin.
- Feo, T. A. e Resende, M. G. C. (1995). Greedy randomized adaptive search procedures. *Journal of Global Optimization*, 6:109–133.
- Ferraz, L. F. N. S. e Senne, E. L. F. (2009). Um algoritmo grasp para problemas de corte bidimensional não-guilhotinado. Relatório final pibic/cnpq, Universidade Estadual Paulista, Guaratinguetá.
- Hadjiconstantinou, E. e Christofides, N. (1995). An exact algorithm for general, orthogonal, two-dimensional knapsack problems. *European Journal of Operational Research*, 83(1):39–56.

- Sepúlveda, G. P. L. (2013). Solução do problema de corte bidimensional de peças retangulares tipo não-guilhotinado usando simulated annealing. Master's thesis, Universidade Estadual Paulista, Ilha Solteira.
- Stützle, T. G. (1998). *Local Search for Combinatorial Problems - Analysis, Improvements, and New Applications*. PhD thesis, Technische Universität Darmstadt, Alemanha.
- Temponi, E. C. C. (2007). Uma metaheurística híbrida grasp-ils aplicada à solução do problema de corte bi-dimensional guilhotinado. In *Anais do XXXIX SBPO*, p. 1708–1717, Fortaleza. SOBRAPO.
- Wang, P. Y. (1983). Two algorithms for constrained two-dimensional cutting stock problems. *Operations Research*, 31(3):573–586.